

УДК 524.7+524.3—355

ВТОРОЙ БЮРАКАНСКИЙ СПЕКТРАЛЬНЫЙ ОБЗОР НЕБА.

III. ПОЛЕ $\alpha = 08^{\text{h}}00^{\text{m}}$, $\delta = +59^{\circ}00'$

Б. Е. МАРКАРЯН, Дж. А. СТЕПАНЯН

Поступила 22 августа 1983

Приводится третий список объектов второго Бюраканского спектрального обзора неба, расположенных на площадке $\alpha = 08^{\text{h}}00^{\text{m}}$, $\delta = +59^{\circ}00'$. Наблюдения проведены на 40—52" телескопе системы Шмидта БАО с набором трех объективных призм. Список содержит данные о 94 пекулярных по физической природе объектах и галактиках и 12 голубых звездах. На этой площадке обнаружены: шесть кандидатов в QSO, 13 BSO, 21 галактика с значительным УФ-континуумом и 54 эмиссионные галактики без заметного УФ-континуума.

Представляется третий список объектов второго Бюраканского спектрального обзора неба. Объекты этого списка расположены в поле размерами $4^{\circ} \times 4^{\circ}$ с координатами центра $\alpha = 08^{\text{h}}00^{\text{m}}$, $\delta = +59^{\circ}00'$. Наблюдения проведены на 40—52" телескопе системы Шмидта БАО в комбинации с набором трех объективных призм. Для рассматриваемой площадки было получено более десяти снимков с применением разных призм на очувствленных в азоте пластинках IIIaJ и IIIaF, частично в сочетании со светофильтрами.

Методика наблюдений отбора и классификации объектов второго обзора БАО приведена в [1—3]. Настоящий список содержит 94 объекта и 12 голубых звезд, данные о которых приведены в табл. 1 и 2. В табл. 1 последовательно даны: 1 — порядковый номер; 2 — обозначение SBS (The Second Byurakan Survey); 3 и 4 — экваториальные координаты с точностью до минуты дуги для эпохи 1950 г.; 5 — угловые размеры в секундах дуги; 6 — глазомерные оценки видимой звездной величины в голубых лучах (B). Звездные величины ярче $15^{\text{m}}.7$ в основном взяты из каталога Цвикки [4]; 7 — обзорный тип, который учитывает как степень конденсированности, так и интенсивность УФ-излучения объекта. Предельная величина на снимках исследуемой площадки несколько меньше, чем на снимках ранее изученных полей [2, 3].

Таблица 1

№	Название	Координаты		Размеры	m_B	Обзорный тип
	SBS	α_{1950}	δ_{1950}			
1	2	3	4	5	6	7
1	0742+599	07 ^h 42 ^m 2	+59° 58'	12×8"	17 ^m	d2e
2	0743+605	07 43.0	+60 33	4	19	BSO
3	0743+591 A	07 43.1	+59 08	40×14	15.4	sde
4	0743+591 B	07 43.5	+59 08	5	18.5	se
5	0743+601	07 43.7	+60 07	8	17	BSO
6	0743+591 C	07 43.8	+59 08	20×14	14.7	se:
7	0744+603	07 44.0	+60 20	8	17.5	BSO
8	0744+590	07 44.8	+59 02	18×9	17	d2e
9	0745+587	07 45.2	+58 47	8×4	18	sd3e
10	0745+601 A	07 45.5	+60 08	6×4	18	d2e
11	0745+601 B	07 45.6	+60 10	5	18	BSO
12	0745+598	07 45.8	+59 48	4	19	dse
13	0746+600	07 46.3	+60 04	4	19	BSO
14	0746+611	07 46.4	+61 06	12×8	17.5	d3
15	0746+587	07 46.7	+58 44	4	18	BSO
16	0746+608	07 46.8	+60 49	5	18	de:
17	0747+593	07 47.5	+59 18	7	18	de:
18	0747+611	07 47.8	+61 07	7	17.5	QSO
19	0748+608	07 48.1	+60 52	10	15.2	de:
20	0748+588	07 48.5	+58 49	8	17.5	de
21	0749+602	07 49.1	+60 14	9×6	18	dse:
22	0749+582	07 49.8	+58 16	4	19	se
23	0750+581	07 50.5	+58 07	8	17.5	BSO
24	0751+603 A	07 51.0	+60 20	10×6	18	ds2e
25	0751+603 B	07 51.0	+60 20	10×6	18	ds2e
26	0751+583	07 51.1	+58 23	6	18	sde:
27	0751+591	07 51.2	+59 11	6	18	BSO
28	0751+577	07 51.3	+57 42	9×6	18	de:
29	0751+601	07 51.3	+60 06	7	18	BSO
30	0752+587	07 52.2	+58 42	5	18.5	de:
31	0752+599	07 52.8	+59 58	8	18	de:
32	0753+581	07 53.3	+58 10	6	17.5	sde
33	0753+599	07 53.7	+59 54	6	18.5	de:
34	0753+590	07 53.9	+59 04	8	17	BSO
35	0753+610 B	07 53.9	+61 05	22×15	15.5	sde
36	0754+606	07 54.0	+60 37	4	19	BSO

Таблица 1 (продолжение)

1	2	3	4	5	6	7
37	0754+574	07 ^h 54 ^m 6	+57°25'	6"	18 ^m 5	de:
38	0754+592	07 54.9	+59 17	14	15.4	sde
39	0755+574 A	07 55.5	+57 27	20×9	16	d3e
40	0755+574 B	07 55.7	+57 29	16×10	15.7	d3e
41	0755+587	07 55.8	+58 45	24×12	15	sde
42	0755+604	07 55.9	+60 25	12	13.9	sde
43	0756+588	07 56.0	+58 51	12	16.5	sd1e
44	0756+61T	07 56.6	+61 07	8	17.5	sd2e
45	0756+578	07 56.8	+57 53	10	17.5	dse
46	0757+604	07 57.1	+60 24	5	19	QSO
47	0757+580	07 57.4	+58 02	12×7	17.5	dse:
48	0757+573	07 57.7	+57 23	12×7	17.5	de:
49	0759+609	07 59.5	+60 55	7	18	QSO
50	0759+607	07 59.5	+60 46	16×13	16.5	sde
51	0800+603 A	08 00.0	+60 18	6	18	QSO
52	0800+603 B	08 00.4	+60 21	15×8	17.5	dse:
53	0801+602	08 01.7	+60 12	4	18.5	BSO
54	0801+581	08 01.8	+58 11	8	16.5	QSO
55	0802+602	08 02.6	+60 15	12×6	17.5	sd3e
56	0803+582	08 03.5	+58 17	7	18	dse
57	0803+591	08 03.8	+59 09	6	18	de:
58	0804+590	08 04.1	+59 01	4	18.5	QSO:
59	0804+591	08 04.3	+59 08	12	17.5	dse
60	0805+607	08 05.3	+60 45	5	18.5	BSO
61	0805+577	08 05.5	+57 43	7	17.5	sde
62	0805+603	08 05.9	+60 21	16×10	16.5	dse
63	0806+579 A	08 06.0	+57 59	20×14	15.1	sde:
64	0806+579 B	08 06.3	+57 58	12×7	17.5	de
65	0806+589 A	08 06.3	+58 57	7	18	dse:
66	0806+589 B	08 06.6	+58 58	6	18	sde
67	0807+571	08 07.1	+57 11	16'	15.2	se:
68	0807+593	08 07.5	+59 23	6	18.5	de
69	0807+581	08 07.7	+58 06	18×14	16.5	sd2e
70	0807+588	08 07.8	+58 51	22×16	15.7	de:
71	0807+580 A	08 07.8	+58 00	5	18.5	de
72	0807+580 B	08 07.9	+58 03	14×8	17.5	de+de
73	0808+587	08 08.1	+58 43	15	16	sd1e
74	0808+581 A	08 08.2	+58 07	6	18.5	de:

Таблица 1 (окончание)

1	2	3	4	5	6	7
75	0808+581 В	08 ^h 08 ^m 5	+58°06'	8"	18 ^m	de:
76	0808+580	08 08.8	+58 05	20×14	15.4	sde
77	0809+610	08 09.5	+61 05	16	16	dse
78	0809+582	08 09.6	+58 14	10	16.5	sd2e
79	0809+577	08 09.7	+57 43	14×10	17	de:
80	0810+583 А	08 10.1	+58 21	10	17	s2e
81	0810+583 В	08 10.4	+58 18	4	18.5	dse:
82	0810+581	08 10.5	+58 11	12	15.3	sde:
83	0810+585	08 10.9	+58 30	6	18	d3e:
84	0811+585	08 11.2	+58 32	8	17.5	s3e:
85	0811+583	08 11.6	+58 20	6	17.5	de
86	0811+575	08 11.6	+57 30	14×7	17.5	de
87	0811+607 А	08 11.6	+60 46	20×10	15.5	sd1e+d2e
88	0811+607 В	08 11.7	+60 47	16×7	16.5	d3e
89	0811+582 А	08 11.7	+58 12	6	18	dse:
90	0811+582 В	08 11.8	+58 13	9×6	18	d2e
91	0811+584	08 11.9	+58 28	12	17	de:
92	0812+576	08 12.2	+57 40	15×11	16.5	dse:
93	0812+577	08 12.5	+57 42	14×7	17.5	de
94	0812+586	08 12.8	+58 39	9×5	18.5	de:

Описание объектов

- 0742+599 — Овальная с выступом на SE. Очень голубая. На обзорных снимках наблюдаются сильные H_{α} и N_{II} , соответствующие $z = 0.035$.
- 0743+605 — Очень голубой, совершенно звездный объект.
- 0743+591 А — Линзовидная, красная. Вытянута почти по α . На низкодисперсионных снимках намечается H_{α} с $z = 0.030$. МКГ 10—11—137.
- 0743+591 В — Головка кометообразной галактики. Хвост направлен на NE. Очень голубая. Наблюдаются очень сильные H_{α} и N_{II} с $z = 0.003$.
- 0743+601 — Голубой, совершенно звездный объект.
- 0743+591 С — Ядерная область яркой спиральной галактики типа Sbc. Голубая. На обзорных спектрах намечается H_{α} . МКГ 10—11—142.
- 0744+603 — Голубой звездный объект.

- 0744+590 — На картах Паломарского обозрения — овальная. На обзорных снимках — тесно-двойная в общей оболочке, с расстоянием между компонентами порядка 6". Голубая. У обоих компонентов на низкодисперсионных снимках наблюдаются очень сильные H_α и слабые N_1 и $\lambda 3727$, соответствующие красному смещению 0.030.
- 0745+587 — Головка кометообразной галактики. Хвост направляет на NW. Очень голубая. На обзорных снимках наблюдается слабая H_α и намечается, по-видимому, N_1 , соответствующие $z = 0.020$.
- 0745+601 A — На картах Паломарского обозрения — сфероидальная. Очень голубая. По обзорным снимкам тесно-двойная, с расстоянием между компонентами порядка 4". Наблюдаются очень сильные H_α и N_1 , у обоих компонентов соответствующие $z = 0.035$.
- 0745+601 B — Голубой, совершенно звездный объект.
- 0745+598 — Ядерная область очень слабой галактики. Ядро голубое. На обзорных снимках наблюдается слабая H_α , соответствующая $z = 0.030$.
- 0746+600 — Очень голубой объект. В УФ части намечается утолщение.
- 0746+611 — Сфероидальная, голубая. Вытянута по δ .
- 0746+587 — Голубой звездный объект. В зеленой области как будто намечается эмиссия.
- 0746+608 — Ядерная область вытянутой по δ галактики. Голубая. На низкодисперсионных снимках намечается H_α с $z = 0.020$.
- 0747+593 — Сферическая, диффузная. Голубая. На обзорных снимках в зеленой области намечается эмиссионная линия, по-видимому, N_1 .
- 0747+611 — В красной и синей областях спектра на низкодисперсионных снимках наблюдаются эмиссионные линии. Квази-звездный объект [1].
- 0748+608 — Ядерная область спиральной галактики. Голубая. На обзорных снимках намечается H_α с $z = 0.020$. МКГ 10—12—1.
- 0748+588 — Сферическая, очень голубая. На обзорных снимках наблюдается слабая H_α с $z = 0.030$.
- 0749+602 — Овальная, красная. На наших спектрах намечается H_α и малоконтрастные эмиссионные линии в зеленой части, соответствующие $z = 0.010$.
- 0749+582 — Наблюдаются умеренной интенсивности H_α и очень сильная N_1 с $z = 0.040$. Значение z неуверенное, так как непрерывный спектр прослеживается плохо.
- 0750+581 — Голубой звездный объект.

- 0751+603 А— На картах Паломарского обозрения овальная. Очень голубая. По обзорным снимкам тесно-двойная, у обоих компонентов наблюдаются слабые H_α и N_1 , соответствующие $z = 0.035$.
- 0751+603 В— На картах Паломарского обозрения овальная. Очень голубая. По низкодисперсионным снимкам, возможно, тесно-двойная, у обоих компонентов наблюдаются очень сильные H_α и N_1 , соответствующие $z = 0.035$. Судя по всему, составляет пару с предыдущей галактикой. Весьма вероятно, что это — физическая пара галактик с тесно-двойными компонентами.
- 0751+583 — Сферическая, со слабым ореолом. Голубая. На обзорных снимках намечается слабая H_α с $z = 0.020$.
- 0751+591 — Голубой, совершенно звездный объект.
- 0751+577 — Сфероидальная, голубая. Вытянута почти по δ . На низкодисперсионных снимках намечаются эмиссионные линии H_α и N_1 с $z = 0.025$.
- 0751+602 — Голубой, совершенно звездный объект.
- 0752+587 — Ядерная область галактики неясной структуры. Диффузная, очень голубая. В зеленой области намечается эмиссия, по-видимому, N_1 .
- 0752+599 — Сферическая, очень красная. На низкодисперсионных снимках в зеленой области намечается эмиссионная линия, по-видимому, N_1 .
- 0753+581 — Почти не отличается от звезд на картах Паломарского обозрения. Голубая. Имеет красный спутник $19^m.5$ на востоке. На обзорных снимках наблюдается умеренной интенсивности H_α с $z = 0.020$.
- 0753+599 — Сферическая, очень красная. На наших спектрах в зеленой области намечается эмиссионная линия, по-видимому, N_1 .
- 0753+590 — Голубой, совершенно звездный объект. Судя по распределению энергии в непрерывном спектре, не исключена возможность наличия у него сейфертовских особенностей, в противном случае — голубая звезда.
- 0753+610 В— Сфероидальная, голубая. Намечается слабая H_α с $z = 0.020$. МКГ 10—12—33.
- 0754+606 — Голубой, совершенно звездный объект.
- 0754+574 — Сферическая, голубая. В зеленой области намечается, по-видимому, N_1 .
- 0754+592 — Ядерная область яркой галактики со слабой протяженной короной. Красная. Наблюдается слабая H_α с $z = 0.015$. МКГ 10—12—41.

- 0755+574 А— Линзовидная, голубая. Вытянута с NE на SW. Наблюдается умеренной интенсивности H_{α} с $z = 0.025$. МКГ 10—12—45.
- 0755+574 В— Сфероидальная, голубая. Вытянута с NE на SW. На обзорных снимках наблюдается умеренной интенсивности H_{α} с $z = 0.025$. По-видимому, образует пару с предыдущей галактикой. МКГ 10—12—48.
- 0755+587 — Сфероидальная, красная. Вытянута почти по δ . На наших спектрах наблюдается умеренной интенсивности H_{α} с $z = 0.020$. МКГ 10—12—47.
- 0755+604 — Ядерная область яркой спиральной галактики типа Sc. Ядро голубое. На обзорных снимках намечается слабая H_{α} с $z = 0.020$. Наблюдаются также эмиссионные линии H_{α} четырех сверхассоциаций, расположенных в спиральных ветвях. МКГ 10—12—49.
- 0756+588 — Ядерная область пекулярной галактики. Очень голубая. На низкодисперсионных снимках наблюдается умеренной интенсивности H_{α} с $z = 0.015$. МКГ 10—12—51.
- 0756+611 — Почти не отличается от звезд на картах Паломарского обозрения. Голубая. Наблюдается умеренной интенсивности H_{α} с $z = 0.020$.
- 0756+578 — Сферическая, со слабым ореолом. Красная. На низкодисперсионных спектрах наблюдается умеренной интенсивности H_{α} с $z = 0.030$.
- 0757+604 — Голубой объект. В зеленой и синей частях спектра на обзорных снимках наблюдается широкое уплотнение — возможно, эмиссионная линия. Вероятно, QSO.
- 0757+580 — Сфероидальная, голубая. Вытянута по δ . На обзорных снимках наблюдается слабая H_{α} с $z = 0.025$.
- 0757+573 — Овальная, с диффузными границами. Очень голубая. Намечается слабая H_{α} с $z = 0.020$.
- 0759+609 — По особенностям распределения энергии в непрерывном спектре, возможно, квазизвездный объект.
- 0759+607 — Овальная, голубая. На обзорных снимках наблюдается умеренной интенсивности H_{α} с $z = 0.030$.
- 0800+603 А— Чрезвычайно голубой объект. В синей и УФ частях спектра на обзорных снимках наблюдаются широкие уплотнения. Показывает типичное для QSO распределение энергии в непрерывном спектре.
- 0800+603 В— Сфероидальная, красная. Вытянута по α . На низкодисперсионных спектрах наблюдается слабая H_{α} с $z = 0.030$.
- 0801+602 — Голубой звездный объект.

- 0801+581 — Очень голубой, совершенно звездный объект. В синей части спектра наблюдается протяженное уплотнение — возможно, эмиссионная линия. Вероятно, QSO.
- 0802+602 — Линзовидная, очень голубая. Вытянута почти по δ . На обзорных снимках в красной области намечается H_{α} , в зеленой области намечается, по-видимому, N_1 . Значение красного смещения около 0.020, из-за вытянутости галактики эта оценка неуверенная.
- 0803+582 — Сферическая, очень красная. На обзорных спектрах намечается эмиссионная линия в зеленой части, по-видимому, N_1 .
- 0803+591 — Ядерная область слабой галактики. Красная. Наблюдается слабая H_{α} с $z = 0.025$.
- 0804+590 — Голубой, совершенно звездный объект. В красной области как будто наблюдается эмиссионная линия. Не исключено, что QSO.
- 0804+591 — Сфероидальная, со слабым ореолом. Красная. На обзорных снимках наблюдается умеренной интенсивности H_{α} с $z = 0.030$.
- 0805+607 — Голубой звездный объект. Низкодисперсионный спектр раздроблен. В нем как будто намечается уплотнение.
- 0805+577 — На картах Паломарского обозрения совершенно не отличается от звезд. Очень голубая. На обзорных спектрах наблюдаются очень сильные H_{α} и N_1 , соответствующие $z = 0.025$.
- 0805+603 — Сфероидальная, красная. Вытянута с NW на SE. На низкодисперсионных снимках наблюдаются слабые H_{α} и N_1 с $z = 0.020$.
- 0806+579 А — Ядерная область, по-видимому, спиральной галактики. Голубая. На обзорных снимках намечается H_{α} с $z = 0.025$. МКГ 10—12—82.
- 0806+579 В — Сфероидальная, голубая. Вытянута с NE на SW. На наших снимках наблюдается слабая H_{α} с $z = 0.025$.
- 0806+589 А — Сферическая, очень красная. В зеленой области спектра намечается эмиссионная линия, по-видимому, N_1 .
- 0806+589 В — Сферическая, с диффузными границами. Очень красная. На обзорных снимках намечаются H_{α} и N_1 , соответствующие $z = 0.025$.
- 0807+571 — Ядерная область, по-видимому, спиральной галактики. Голубая. На обзорных снимках намечается H_{α} с $z = 0.030$. МКГ 10—12—85.
- 0807+593 — Сферическая, диффузная. Голубая. На наших спектрах на-

блюдаются умеренной интенсивности H_2 и, по-видимому, N_1 с $z = 0.025$.

- 0807+581 — Ядерная область сфероидальной галактики. Красная. Наблюдаются очень сильные H_2 и N_1 , соответствующие $z = 0.030$.
- 0807+588 — Сфероидальная, диффузная. Голубая. На обзорных снимках наблюдается H_2 с $z = 0.025$. На западе галактики имеется сверхассоциация, в спектре которой также наблюдается сильная H_2 с таким же значением красного смещения. МКГ 10—12—87.
- 0807+580 А — Сферическая, очень красная. Наблюдается эмиссионная линия в зеленой области спектра, по-видимому, N_1 .
- 0807+580 В — На картах Паломарского обозрения овальная. По обзорным снимкам тесно-двойная, в общей оболочке. Очень голубая. Расстояние между компонентами порядка 6". У обоих компонентов наблюдаются сильные H_2 и N_1 , соответствующие $z = 0.025$.
- 0808+587 — Сферическая, с резкими границами. Голубая. На обзорных снимках наблюдаются очень сильные H_2 и N_1 с $z = 0.025$. VII Zw 217 [6].
- 0808+581 А — Сферическая, голубая. На низкодисперсионных снимках в зеленой области намечается эмиссионная линия, по-видимому, N_1 .
- 0808+581 В — Овальная, с диффузными границами. Очень голубая. На обзорных снимках в зеленой области намечается эмиссия, по-видимому, N_1 .
- 0808+580 — Сфероидальная, со слабым ореолом. Красная. На обзорных снимках намечается H_2 с $z = 0.025$. МКГ 10—12—91.
- 0809+610 — Сферическая, с диффузной короной. Красная. Наблюдается слабая H_2 с $z = 0.035$. МКГ 10—12—94.
- 0809+582 — Ядерная область сфероидальной галактики. Голубая. На обзорных снимках наблюдается слабая H_2 с $z = 0.025$. МКГ 10—12—97.
- 0809+577 — Ядерная область сфероидальной галактики. Голубая. Вытянута с NW на SE. Наблюдается слабая диффузная H_2 с $z = 0.025$.
- 0810+583 А — На картах Паломарского обозрения совершенно не отличается от звезд. Голубая. На обзорных спектрах наблюдается очень сильная H_2 с $z = 0.025$.
- 0810+583 В — Ядерная область очень слабой галактики. Голубая. На низкодисперсионных снимках намечается слабая H_2 с $z = 0.025$.

- 0810+581 — Ядерная область спиральной галактики. Ядро красное. Намечается H_α с $z = 0.025$. МКГ 10—12—100.
- 0810+585 — Сферическая, со слабой оболочкой. Очень голубая. На обзорных снимках наблюдается слабая H_α с $z = 0.025$.
- 0811+585 — На картах Паломарского обозрения совершенно не отличается от звезд. Голубая. На обзорных снимках наблюдается умеренной интенсивности H_α с $z = 0.030$.
- 0811+583 — Очень голубая галактика. Наблюдается умеренной интенсивности H_α с $z = 0.030$.
- 0811+575 — Сфероидальная, голубая. Вытянута с NE на SW. На наших снимках наблюдается слабая H_α с $z = 0.030$.
- 0811+607 A — На картах Паломарского обозрения овальная. Очень голубая. На низкодисперсионных снимках и на прямом снимке, полученном на метровом телескопе Шмидта БАО,— теснодвойная, в общей оболочке, с расстоянием между компонентами порядка $8''$. Двойственность отмечена и в [4]. На обзорных снимках северо-западный, более яркий компонент имеет очень сильные H_α и N_1 , юго-восточный — умеренной интенсивности H_α , соответствующие $z = 0.025$. МКГ 10—12—109.
- 0811+607 B — Сфероидальная, красная. Вытянута с NE на SW. Наблюдается умеренной интенсивности H_α с $z = 0.025$. По-видимому, составляет пару с предыдущей галактикой или является ее спутником. МКГ 10—12—110.
- 0811+582 A — На картах Паломарского обозрения почти не отличается от звезд. Очень красная. Наблюдается слабая H_α с $z = 0.020$.
- 0811+582 B — Овальная, очень голубая. На низкодисперсионных снимках наблюдаются сильные H_α и N_1 , соответствующие $z = 0.025$.
- 0811+584 — Ядерная область, по-видимому, спиральной галактики. Очень красная. Вытянута с NW на SE. Намечается слабая H_α с $z = 0.025$.
- 0812+576 — Ядерная область спиральной галактики. Голубая. Вытянута с SE на NW. Наблюдается слабая H_α с $z = 0.030$.
- 0812+577 — Сфероидальная, голубая. Вытянута с NE на SW. На SW край галактики, возможно, проецируется звезда. На низкодисперсионных снимках наблюдается слабая H_α с $z = 0.025$.
- 0812+586 — Сфероидальная, со слабой короной. Красная. На обзорных снимках наблюдается слабая H_α с $z = 0.030$.

За таблицей следует описание объектов, в котором даны морфологические и спектральные особенности исследуемых объектов и приближен-

ные значения красных смещений галактик (с точностью 0.005). Последние определялись по положению эмиссионных линий H_{α} и $[S II]$ в отношении длинноволнового конца спектра на обзорных снимках. В табл. 2 приведен список 12 голубых звезд, обнаруженных на этой площадке.

Таблица 2

№	Название SBS	Координаты		M_B
		α_{1950}	δ_{1950}	
1	0749+590	07 49.0	+59 03	16
2	0752+578	07 52.0	+57 51	15.5
3	0753+610 A	07 53.3	+61 03	17.5
4	0756+582	07 56.6	+58 12	16.5
5	0759+603	07 59.4	+60 21	18
6	0759+610	07 59.5	+61 03	18
7	0800+591	08 00.6	+59 11	18
8	0808+595	08 08.1	+59 32	16
9	0809+593	08 09.8	+59 22	17.5
10	0811+582	08 11.2	+58 13	18
11	0811+595	08 11.7	+59 31	18
12	0813+607	08 13.0	+60 43	17

Распределение объектов на исследуемой площадке по типам приведено в табл. 3.

Таблица 3

Тип	Галактики			QSO	BSO	BS	Всего
	с УФ-избытком		без УФ-избытка				
		Sy					
Количество	21	—	54	6	13	12	106

Как видно, на рассматриваемой площадке количество обнаруженных QSO и BSO несколько меньше по сравнению с предыдущими площадками [2, 3]. Это объясняется сравнительно малой галактической шириотой и меньшей предельной величиной снимков этой площадки.

Кроме отмеченных выше объектов на исследуемой площадке находятся три известные галактики Маркаряна: Марк 10, 13 и 1411, одна из которых — Марк 10 является хорошо исследованной и широко известной сейфертовской галактикой первого типа. Здесь же находится квазар OJ 401 [5].

Среди отобранных галактик найдено шесть тесно-двойных систем, № 8, 10, 24, 25, 72 и 73, не разрешимых на картах Паломарского обозрения, однако разрешаемые на низкодисперсионных спектрах на эмульсии IIIaJ. Расстояние между компонентами этих систем находятся в пределах 4—8 секунд дуги. Среди них имеется одна, по-видимому, физическая пара галактик, SBS 0751+603 A и B, компоненты которой в свою очередь являются тесно-двойными системами.

Поверхностная плотность QSO на этой площадке по вышеуказанной причине оказалась меньше, нежели в предыдущих [2, 3], однако поверхностная плотность эмиссионных галактик более 4.5 на квадратный градус.

Приводятся карты отождествлений для всех объектов табл. 1 и 2, отпечатанные с голубых карт Паломарского обозрения.

Бюраканская астрофизическая
обсерватория

THE SECOND BYURAKAN SPECTRAL SKY SURVEY. III. THE RESULTS OF THE AREA CENTRED ON

$$\alpha = 08^{\text{h}} 00^{\text{m}} \quad \delta = + 59^{\circ} 00'.$$

B. E. MARKARIAN, J. A. STEPANIAN

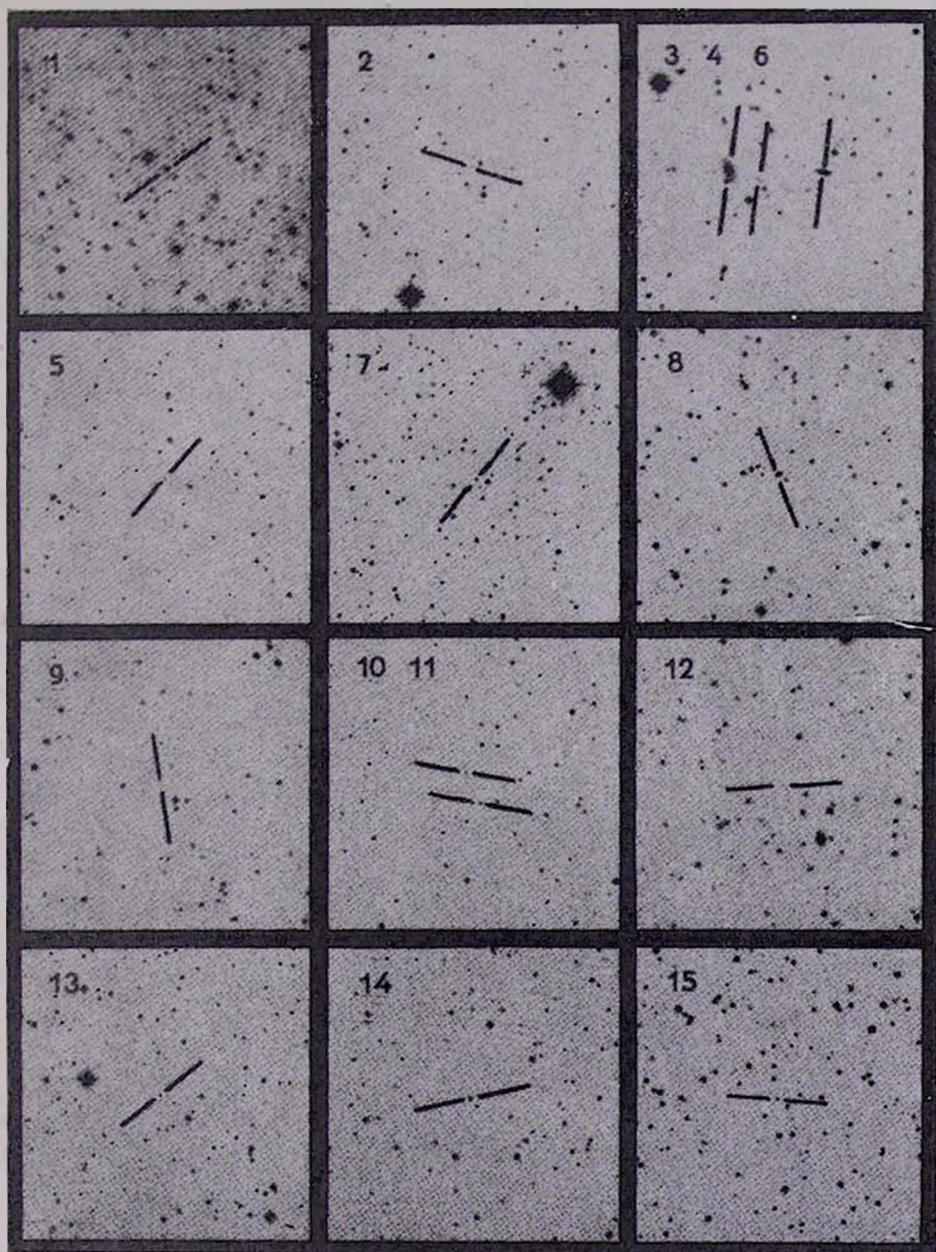
The third list of objects of the second Byurakan survey in the area centred on $\alpha = 08^{\text{h}} 00^{\text{m}} \quad \delta = + 59^{\circ} 00'$ is presented. The observations were made with the 40 — 52" Schmidt telescope of BAO using a set of three objective prisms. This list contains data on 94 objects and galaxies and 12 blue stars peculiar in their physical nature. In the given area six candidates for QSO, 13 BSO, 21 galaxies with significant UV continuum and 54 emission galaxies without significant UV continuum were found.

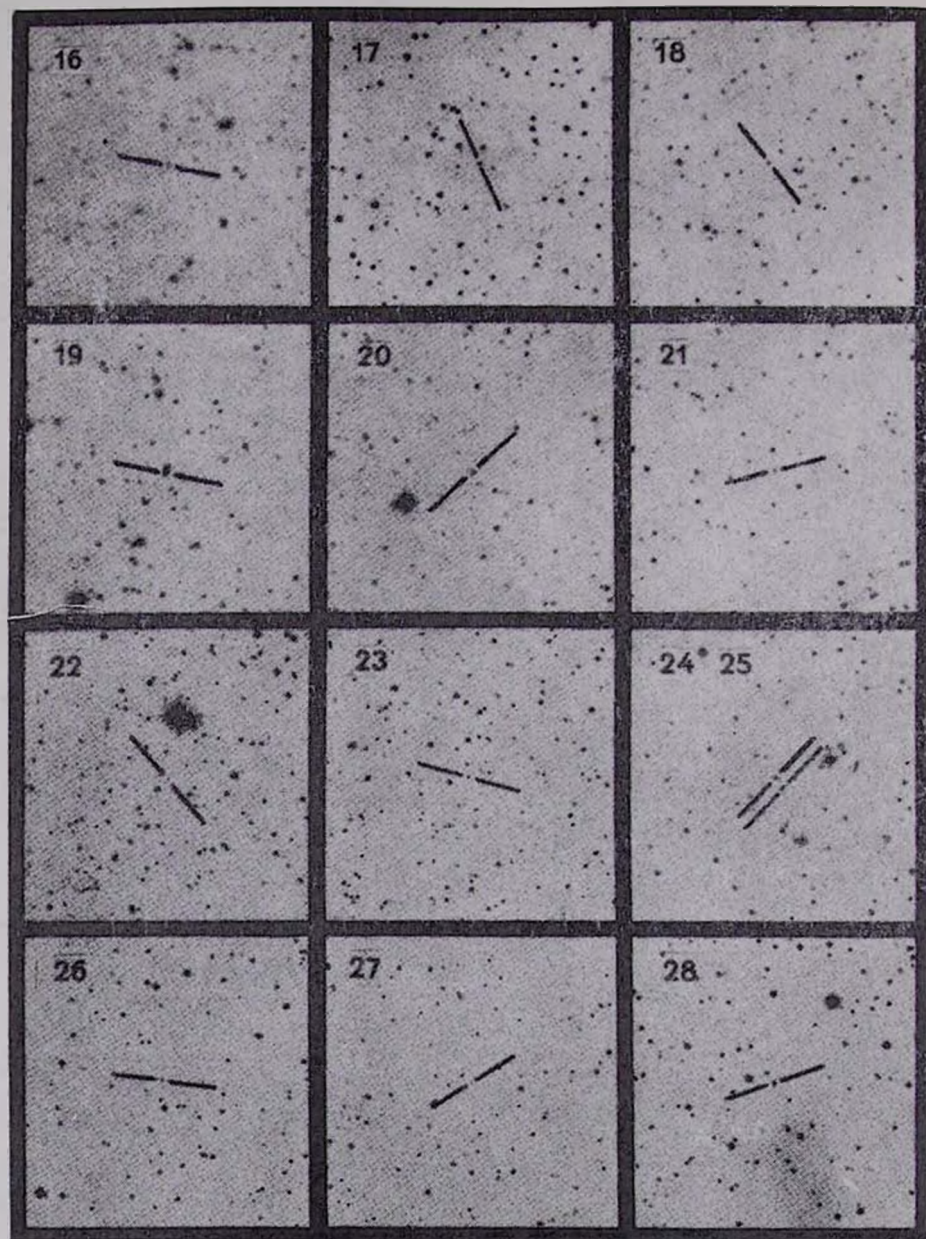
ЛИТЕРАТУРА

1. Б. Е. Маркарян, В. А. Липовецкий, Дж. А. Степанян, *Астрофизика*, 19, 29, 1983.
2. Б. Е. Маркарян, Дж. А. Степанян, *Астрофизика*, 19, 639, 1983.
3. Б. Е. Маркарян, Дж. А. Степанян, *Астрофизика*, 20, 21, 1984.
4. F. Zwicky, E. Herzog, *Catalogue of Galaxies and of Clusters of Galaxies, Switzerland*, 4, 1968.
5. R. W. Porcas, C. M. Urry, I. W. A. Browns, A. M. Cohen, E. J. Daintree, D. Walsh, *M. N. RAS*, 191, 607, 1980.
6. F. Zwicky, *Catalogue of Selected Compact Galaxies and Post-Eruptive Galaxies, Switzerland*, 1971.

КАРТЫ ОТОЖДЕСТВЛЕНИЯ.

Размеры 16"×16". Север сверху, восток слева (в голубых лучах).





29



30



31



32



33



34



35



36



37



38



39 40



41



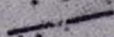
42



43



44



45



46



47



48



49



50



51, 52



53



54



55



56



57 59



58



60



61



62



63 64



65 66



67



68



69 71 72



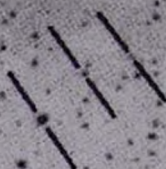
70



73



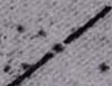
74 75 76



77



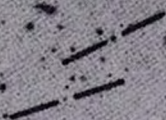
78



79



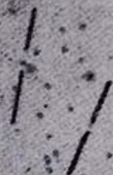
80 81



82



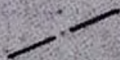
83 84



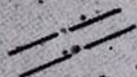
85

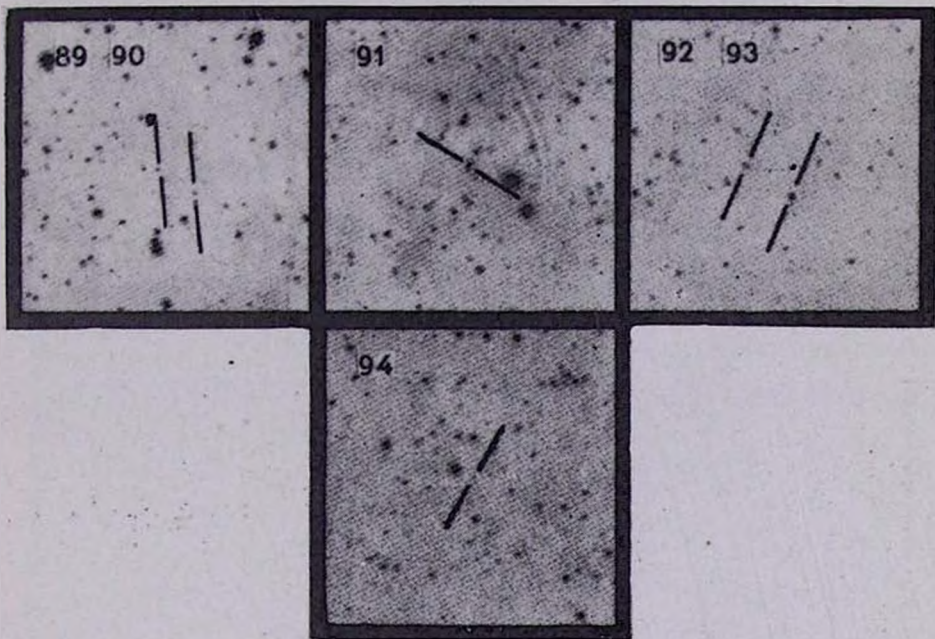


86



87 88





К ст. Б. Е. Маркаряна и Дж. А. Степаняна

КАРТЫ ОТОЖДЕСТВЛЕНИЯ ГОЛУБЫХ ЗВЕЗД.

Размеры 16'×16'. Север сверху, восток слева (в голубых лучах).

